

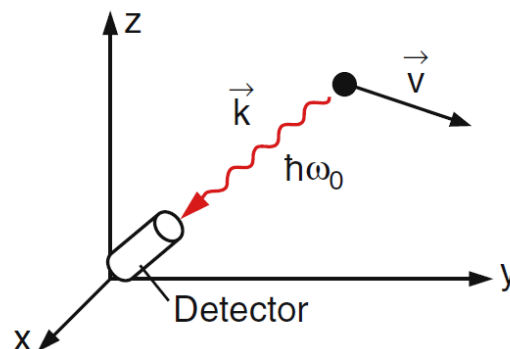
§ 4.3 谱线宽度和线形—多普勒增宽和高斯线形



能级自然宽度和谱线的自然宽度，只与能态的辐射跃迁速率有关，是物理过程固有的。实际测量到的谱线宽度由于各种外在因素的影响一定比自然宽度大，造成**增宽**。

多普勒(Doppler)增宽

对于**发射**情况：



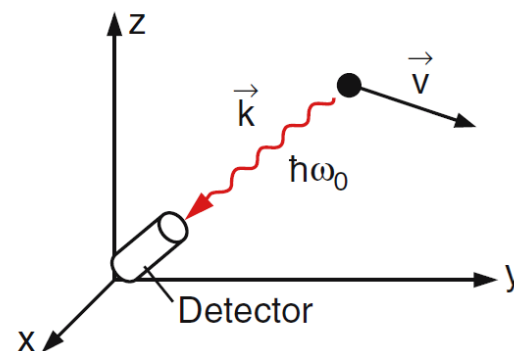
设激发态分子以速度 \mathbf{v} 相对静止观测者即光子探测器运动，当 $v \ll c$ 时，在非相对论近似下，发射前后能量守恒和动量守恒，可以得到观察者测到的分子发射的光子频率 ν 相对在分子坐标系中分子发射线中心频率 ν_0 的多普勒频移公式为：

$$\nu = \nu_0 + \frac{\mathbf{k} \cdot \mathbf{v}}{2\pi}$$

式中 \mathbf{k} 是发射光子的波矢，有关系 $k = 2\pi\nu/c$ 。

因此，当分子向着观测者(光子探测器)运动时，辐射方向 \mathbf{k} 与分子运动速度 \mathbf{v} 方向一致， $\mathbf{k} \cdot \mathbf{v} > 0$ ，则频率 ν 增加；反之，当分子离开观察者运动时， $\mathbf{k} \cdot \mathbf{v} < 0$ ，则频率减小。

$$\nu = \nu_0 + \frac{\mathbf{k} \cdot \mathbf{v}}{2\pi}$$



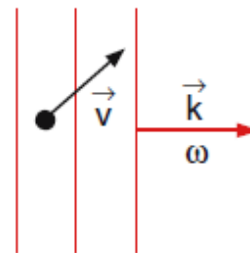
§ 4.3 谱线宽度和线形—多普勒增宽和高斯线形



对于吸收情况：

设分子(观测者)以速度 \mathbf{v} 相对光源 ν_0 运动，则分子(观测者)吸收的光子频率 ν 相对于光源的频率 ν_0 的多普勒频移公式为：

$$\nu = \nu_0 - \frac{\mathbf{k} \cdot \mathbf{v}}{2\pi}$$



当分子(观测者)向着光源运动时，辐射方向 \mathbf{k} 与分子运动速度 \mathbf{v} 方向相反， $\mathbf{k} \cdot \mathbf{v} < 0$ ，则频率 ν 增加；反之，当分子顺着辐射方向即离开光源运动时， $\mathbf{k} \cdot \mathbf{v} > 0$ ，则频率减小。

§ 4.3 谱线宽度和线形—多普勒增宽和高斯线形

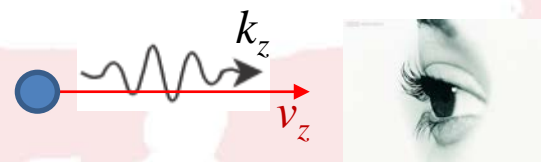


不管分子是发射还是吸收，都存在同样的多普勒频移效应。当分子向着光子探测器(对于发射辐射)或光源(对于辐射吸收)运动时，得到的辐射频率增加；反之，当分子顺着运动时，频率则减小。

我们以一维运动发射光子情况来讨论谱线的线形：

设分子沿 z 方向运动， $v = v_z$ ，
若光子沿 $+z$ 方向， $k = k_z = 2\pi\nu_0/c$ ，

$$\nu = \nu_0 \left(1 + \frac{v_z}{c} \right) \longrightarrow d\nu = \frac{\nu_0 dv_z}{c}$$



§ 4.3 谱线宽度和线形—多普勒增宽和高斯线形



气体分子无规则热运动，在一定温度 T 下达到热平衡。气体分子遵循麦克斯韦速度分布，单位体积内具有速度分量在 v_z 到 v_z+dv_z 之间的分子数为

$$n(v_z)dv_z = N_0 \left(\frac{M}{2\pi k_B T} \right)^{1/2} \exp\left(-\frac{Mv_z^2}{2k_B T} \right) dv_z$$

式中， k_B 是玻尔兹曼常数， N_0 是单位体积内的所有分子数。

$$v = v_0 \left(1 + \frac{v_z}{c} \right) \quad dv = \frac{v_0 dv_z}{c}$$



$$n(v)dv = \frac{N_0}{v_0} \left(\frac{Mc^2}{2\pi k_B T} \right)^{1/2} \exp\left(-\frac{Mc^2}{2k_B T} \left(\frac{v - v_0}{v_0} \right)^2 \right) dv$$

§ 4.3 谱线宽度和线形—多普勒增宽和高斯线形



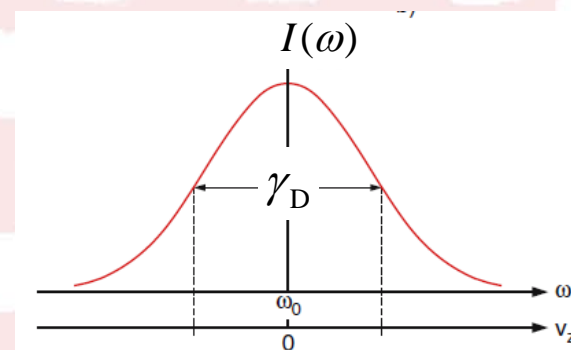
$$n(\nu)d\nu = \frac{N_0}{\nu_0} \left(\frac{Mc^2}{2\pi k_B T} \right)^{1/2} \exp \left(-\frac{Mc^2}{2k_B T} \left(\frac{\nu - \nu_0}{\nu_0} \right)^2 \right) d\nu$$

频率 ν 处的谱线强度:

$$I(\nu)d\nu \propto n(\nu)d\nu$$

有:
$$I(\nu) = I_0 \exp \left[-\left(\frac{c(\nu - \nu_0)}{\nu_0 \nu_p} \right)^2 \right]$$

其中 $\nu_p = (2k_B T / M)^{1/2}$



高斯线形

§ 4.3 谱线宽度和线形—多普勒增宽和高斯线形

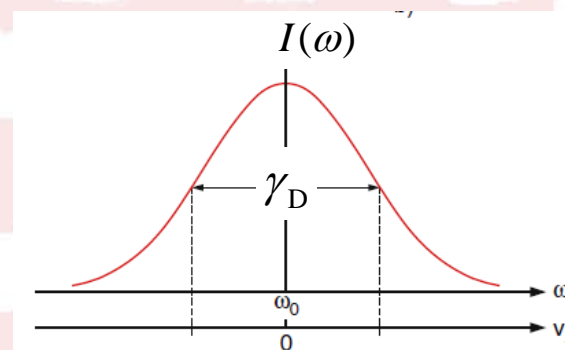


在气体分子热运动情况下，由于多普勒效应造成的谱线展宽又叫多普勒宽度 γ_D ，用FWHM表示，则为：

$$\gamma_D = \nu_0 \sqrt{\frac{8 \ln 2 \cdot k_B T}{M c^2}} = \nu_0 \sqrt{\frac{8 \ln 2 \cdot R T}{A c^2}}$$

其中， $A = N_A M$ 是摩尔质量，即原子量或分子量， $R = N_A k_B$ 是气体常数。

由此可见，多普勒宽度只与分子量和分子所处温度有关，与分子的能级特性无关，处于不同能级的分子有同样的多普勒增宽。



高斯线形

§ 4.3 谱线宽度和线形—多普勒增宽和高斯线形



由能量和频率之间的关系可以得到能谱强度分布的多普勒宽度为

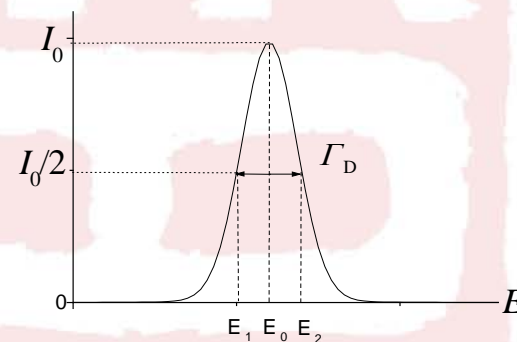
$$\Gamma_D = h\gamma_D = E_0 \sqrt{\frac{8 \ln 2 \cdot k_B T}{Mc^2}} = E_0 \sqrt{\frac{8 \ln 2 \cdot RT}{Ac^2}}$$

用多普勒宽度表示的按面积归一的高斯线形为

$$F_G(\nu - \nu_0) = \frac{2\sqrt{\ln 2}}{\sqrt{\pi}\gamma_D} \exp\left[-4 \ln 2 \left(\frac{\nu - \nu_0}{\gamma_D}\right)^2\right]$$

按峰值高度归一的高斯线形为

$$F_G^*(\nu - \nu_0) = \exp\left[-4 \ln 2 \left(\frac{\nu - \nu_0}{\gamma_D}\right)^2\right]$$



高斯线形

在常温下，原子分子价壳层电子激发谱通常可见与紫外区域，多普勒线宽超过自然线宽约二个数量级；

但在远红外与微波段，即纯振动和转动光谱，随着能量很快下降，能级寿命增长很快，自然线宽减小很多，因而多普勒效应的相对作用更大。

对于亚稳态能级，能级寿命很长，自然宽度很小，多普勒展宽更是远远超过自然宽度。

实际情况上，上述两种线宽同时存在。

当两者可比时，观测的线形既不是简单的洛仑兹线形，也不是简单的高斯线形。

由于能级有限的寿命(具有自然宽度)，具有确定速度 v_z' 的所有分子不是都以同一多普勒频率 $\nu_0' = \nu_0(1 + v_z'/c)$ 辐射，而是围绕 ν_0' 为中心的洛仑兹线形分布。

再考虑到分子具有多普勒热运动速度分布，还要用热分布的高斯线形来平均，因此总的强度线形是洛仑兹线形和高斯线形卷积，称为沃伊特 (Voigt) 线形

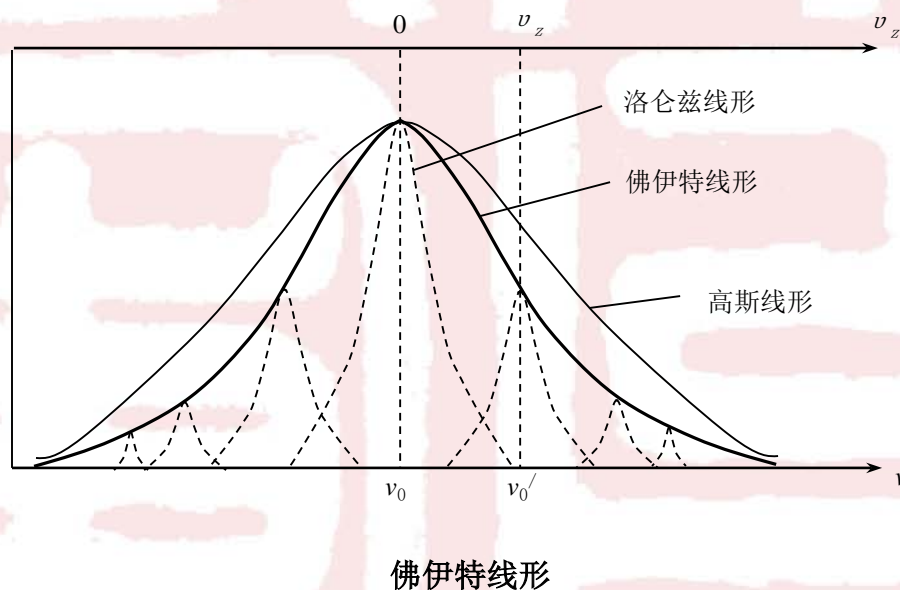
§ 4.3 谱线宽度和线形—沃伊特线形



按面积归一

$$I(\nu, \gamma_L / \gamma_G) = \int_0^{\infty} \frac{\gamma_L}{(\nu - \nu')^2 + \gamma_L^2 / 4} \frac{2\sqrt{\ln 2}}{\gamma_G \sqrt{\pi}} \exp\left\{-\frac{4 \ln 2 (\nu' - \nu_0)^2}{\gamma_G^2}\right\} d\nu'$$

其中， γ_L 为洛仑兹线形半宽度， γ_G 为高斯线形半宽度。佛伊特线形由 γ_L / γ_G 比确定。

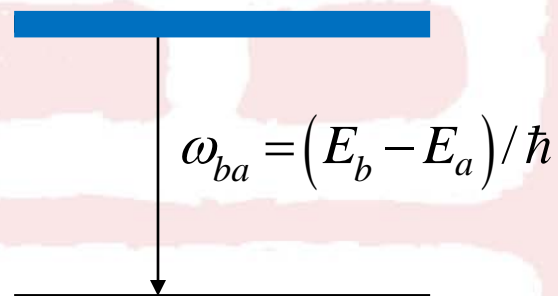


实际体系原子分子不是孤立的：

每个原子分子都有可能与周围的其它原子分子、电子、离子发生碰撞，不仅会改变谱线的宽度，还会改变谱线的位置。由于这样的原因产生的谱线增宽，称为碰撞增宽；碰撞的几率与样品气体压力有关，所以又称压力增宽。

非弹性碰撞

激发态的原子或分子发生非弹性碰撞，即非辐射退激发，相当于激发态寿命变短，能级宽度变宽，相应的谱线增宽。



§ 4.3 谱线宽度和线形—碰撞增宽



设两次非弹性碰撞之间的平均时间为原子激发态能级的寿命 τ_c ，根据气体分子运动论：

$$\tau_c = \frac{s}{\bar{v}} = \frac{1}{N_0 \sigma \bar{v}}$$

式中， s 为两次非弹性碰撞间的原子的平均自由程，

$$\bar{v} = \left(\frac{8k_B T}{\pi m} \right)^{1/2}$$
 是原子的平均速度，

N_0 为单位体积中的原子数， σ 为碰撞截面。

由此产生的谱线线形与自然线形一样，只是能级的平均寿命换成平均碰撞时间。

$$I(\nu) = \frac{I_0 (\gamma/2)^2}{(\nu - \nu_0)^2 + (\gamma/2)^2}$$

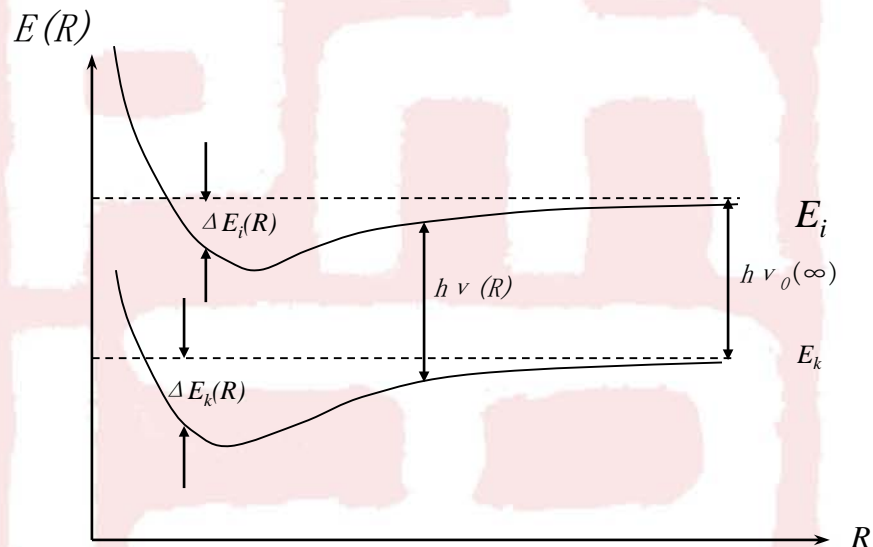
$$\gamma = \Gamma_c / h$$

弹性碰撞

弹性散射同样会使谱线增宽，此时碰撞不会引起无辐射退激发，但会影响原子能级。

当一个具有能级 E_i 和 E_k 的原子A接近另一个原子或分子B时，由于A、B之间相互作用，A的能级会发生移动。

这个移动 ΔE 依赖A和B的电子态和它们之间的相互作用与距离 $R(A,B)$ 。



A原子的能级受碰撞原子B的影响

§ 4.3 谱线宽度和线形—碰撞增宽

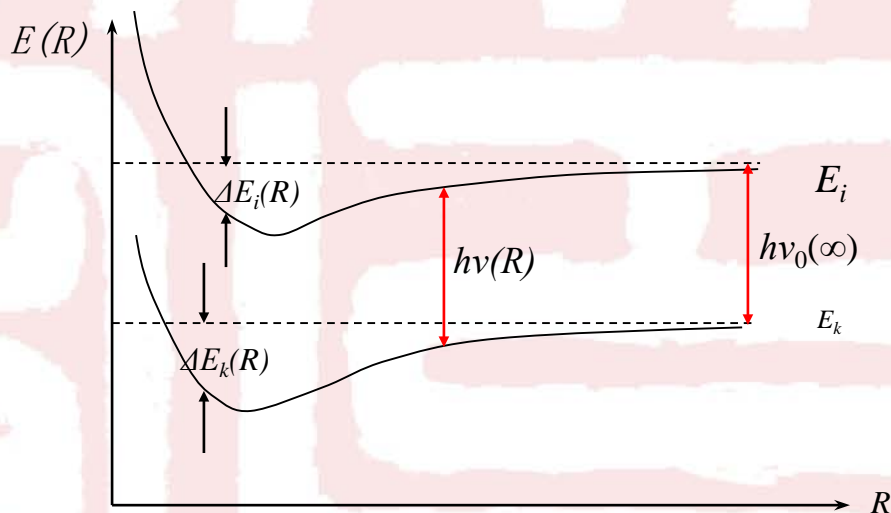


原子A的两个能级所处的原子态可以不同，受到B原子的作用也会不同，因而，两能级的势能曲线 $E_i(R)$ 和 $E_k(R)$ 随 R 的变化一般说来也会不同，它们之间的差值随 R 会改变。

如果原子A在碰撞时发生辐射跃迁，吸收或发射的辐射能量：

$$h\nu(R) = E_i(R) - E_k(R)$$

假设辐射跃迁发生的持续时间比碰撞时间短很多，以至于跃迁时距离不改变，即发生**垂直跃迁**，测得的谱线会发生移动。



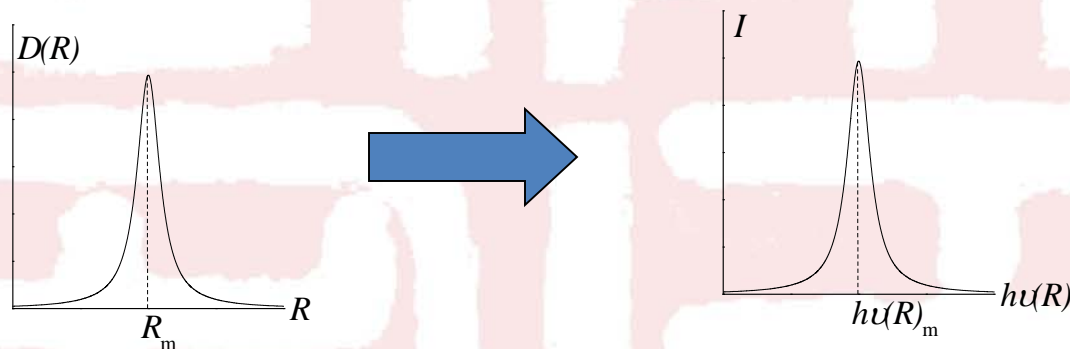
A原子的能级受碰撞原子B的影响

§ 4.3 谱线宽度和线形—碰撞增宽



在实际气体中，原子作无规则运动，两个原子A和B之间的距离不象固体那样是固定的，而是偶然起伏的，围绕平均值 R_m 有一个分布， R_m 决定于压力和温度。

因而辐射谱线除了固有的自然宽度以外，还会围绕最可几值 $h\nu(R_m)$ 有一分布，从而造成测得的谱线分布增宽。

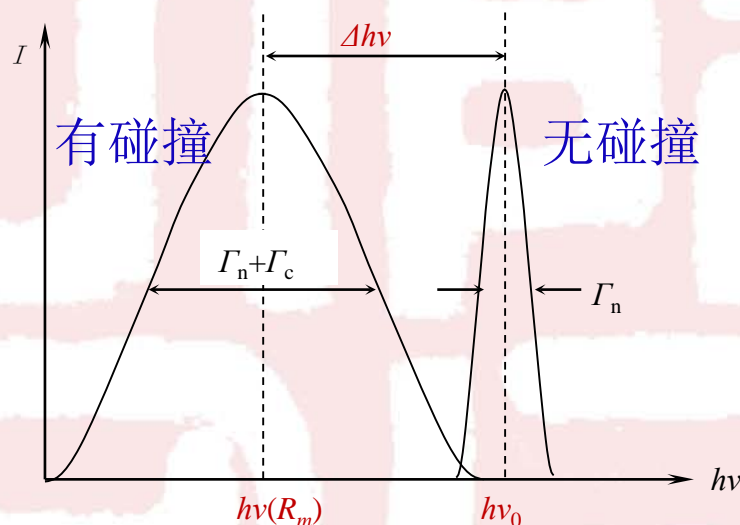


§ 4.3 谱线宽度和线形—碰撞增宽



最可几能量相对未发生碰撞的原子A的辐射能量 $h\nu_0$ 也可能有一个移动:

$$\Delta h\nu = h\nu_0 - h\nu(R_m) = [E_i(\infty) - E_k(\infty)] - [E_i(R_m) - E_k(R_m)]$$



若 R_m 很大(稀薄气体), A, B 相互作用小, 则相应于各个距离的能量移动很小, 谱线增宽很小, 峰位移动 $\Delta h\nu$ 也很小, 这是**软碰撞**情况。

若 R_m 很小, A, B 相互作用大, 在 R_m 附近二能级 E_i 和 E_k 相对变化很大, 因而各个 R 值的辐射能量移动很大, 谱线增宽也很大; 但峰位的移动则要视 A, B 相互作用的具体情况而定, 这是**硬碰撞**情况。

§ 4.3 谱线宽度和线形—碰撞增宽



(自发辐射)谱线强度 $I(\nu)$ 取决于:

(1) 与B相距 R 处的原子A的两个能级的能量差:

$$E_i(R) - E_k(R);$$

(2) 跃迁的自发辐射速率 $A_{ik}(R)$;

(3) 单位时间内A,B之间距离处于 R 到 $R+dR$ 范围内的概率 $P(R)$ 。

$$I(\nu) \propto \int A_{ik}(R)P(R)[E_i(R) - E_k(R)]dR$$

但是要具体算出来是很困难的。本质上,与非弹性碰撞一样,谱线的线形也是洛仑兹形的。

§ 4.3 谱线宽度和线形—碰撞增宽

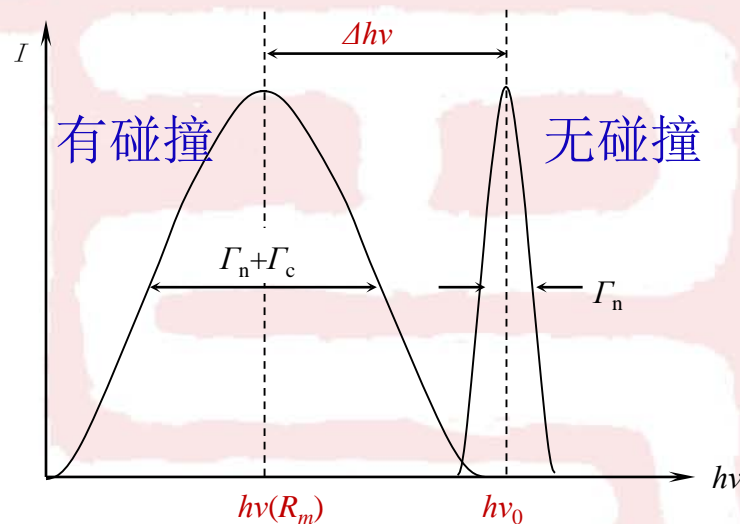


综合而言，碰撞增宽线形是一种纯粹的洛仑兹线形，碰撞造成谱线自发辐射的洛仑兹谱线宽度增加和中心频率移动。考虑了碰撞效应的洛仑兹线形为：

$$I(E) = I_0(E) \frac{(\Gamma_n + \Gamma_c)^2 / 4}{(E - E_0 - \Delta h\nu)^2 + (\Gamma_n + \Gamma_c)^2 / 4}$$

总的宽度等于自然宽度 Γ_n 加碰撞增宽 Γ_c ：

$$\Gamma = \Gamma_n + \Gamma_c$$



均匀增宽：自然展宽和碰撞增宽，所有原子分子有相同的效应。各原子分子有相同频率的吸收或发射。线型为洛仑兹型。

非均匀增宽：多普勒增宽，各原子分子有不同的效应。在多普勒增宽中，不同原子分子吸收和发射的频率不同。线型为高斯型。

频率为 ν 、强度为 $I(\nu)$ 的平面波在 z 方向通过厚为 dz 的吸收样品后的减弱 $dI(\nu)$ 正比于 $I(\nu)$ 和 dz ，有

$$-dI(\nu) = \alpha I(\nu) dz$$

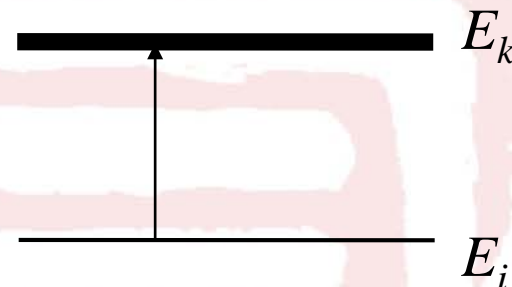
比例系数 α 称为吸收系数，对于一个确定的从态 i 到态 k 的吸收跃迁过程，吸收系数 α 依赖二能级布居和原子吸收截面 σ_{ik} 。

$$\alpha(\nu) = \sigma_{ik}(\nu) \left(N_i - \frac{g_i}{g_k} N_k \right)$$

N_k 和 N_i 分别是态 k 和态 i 单位体积内原子数， g_k 和 g_i 是它们的统计权重，即简并度。

设上下能级的简并度均为1，则

$$\alpha(\nu) = \sigma_{ik}(\nu) (N_i - N_k) = \sigma_{ik}(\nu) \Delta N$$



线性吸收

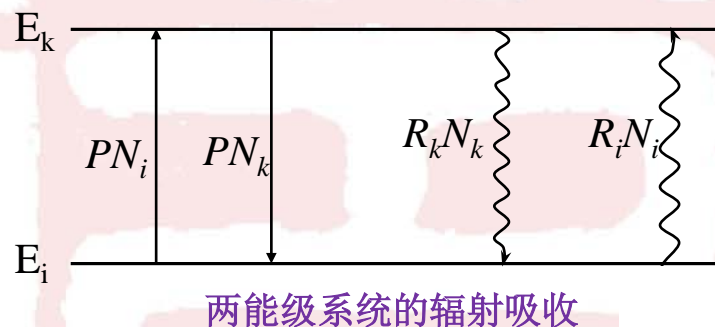
激励率：单位时间内由于辐射场存在而发生的跃迁概率 $P = \sigma_{ik} I(\nu)$

弛豫率：单位时间内的自发辐射和碰撞引起的跃迁概率 R

如果辐射场的光强度足够小，跃迁的激励率 \ll 激发态的弛豫率，处于吸收能级的原(分)子数目 N_i 变化不大。

有 $N_k \ll N_i$ 时，上式简化为：

$$\alpha_0(\nu) \approx \sigma_{ik}(\nu) N_i$$



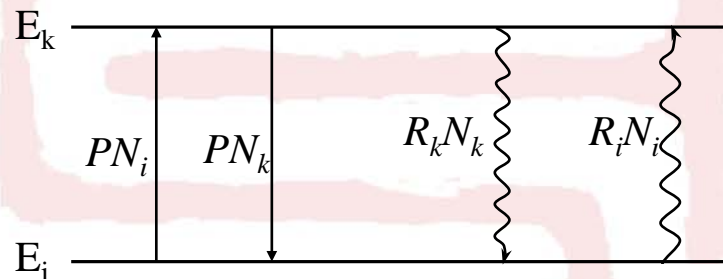
吸收系数与处于吸收能级的原(分)子数目成正比，这是线性吸收，相应的系数称为**线性吸收系数**，是常数。

饱和吸收

但如果辐射场的强度很大，吸收跃迁的激励率增大到能够与弛豫率可比时，会造成吸收能级布居显著减少，从而造成辐射吸收系数的减小，这就是**饱和吸收现象**，它也能产生附加的谱线增宽。

设 N_i, N_k 是上下能级的布居数密度，设 P 是激励率，由于爱因斯坦吸收系数和受激辐射系数相等，所以上下能级的激励率也相等。

设 R_i 和 R_k 分别是上下能级的弛豫率。



两能级系统的辐射吸收

§ 4.3 谱线宽度和线形—饱和增宽



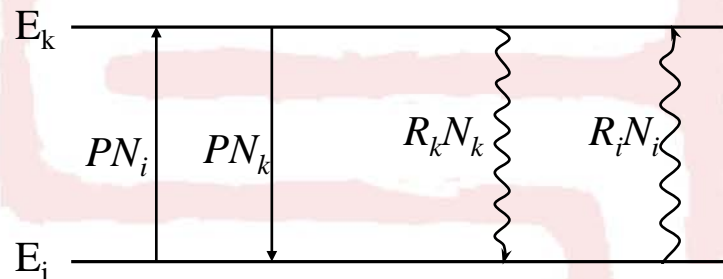
单位时间内能级*i*的布居数密度变化:

$$\frac{dN_i}{dt} = -\frac{dN_k}{dt} = -PN_i + PN_k - R_i N_i + R_k N_k$$

设 $N = N_i + N_k$, 在平衡条件下($dN_i/dt = 0$)有

$$N_i = N \frac{P + R_k}{2P + R_i + R_k}$$

$$N_k = N \frac{P + R_i}{2P + R_i + R_k}$$



两能级系统的辐射吸收

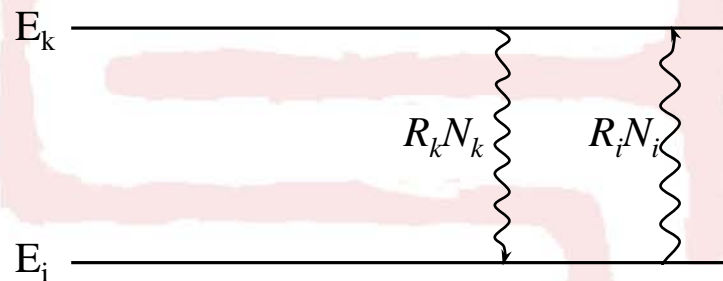
§ 4.3 谱线宽度和线形—饱和增宽



在没有辐射场($P = 0$)情况下, 热平衡的布居数密度为

$$N_{i0} = N \frac{R_k}{R_i + R_k}$$

$$N_{k0} = N \frac{R_i}{R_i + R_k}$$



两能级系统的辐射吸收

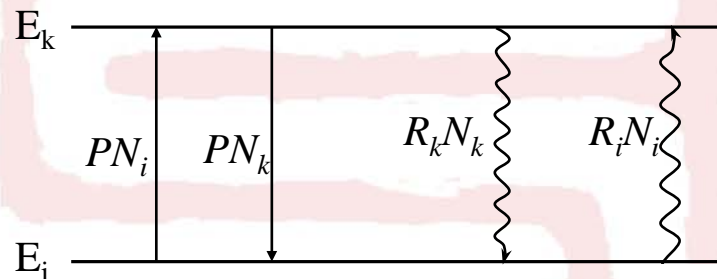
§ 4.3 谱线宽度和线形—饱和增宽



记 $\Delta N = N_i - N_k$, $\Delta N_0 = N_{i0} - N_{k0}$, 分别是存在与不存在辐射场时, 两能级的热平衡布居数密度差:

$$\Delta N(\nu) = N_i - N_k = N \frac{P + R_k}{2P + R_i + R_k} - N \frac{P + R_i}{2P + R_i + R_k} = N \frac{R_k - R_i}{2P + R_i + R_k}$$

$$\Delta N_0 = N_{i0} - N_{k0} = N \frac{R_k}{R_i + R_k} - N \frac{R_i}{R_i + R_k} = N \frac{R_k - R_i}{R_i + R_k}$$



两能级系统的辐射吸收

§ 4.3 谱线宽度和线形—饱和增宽



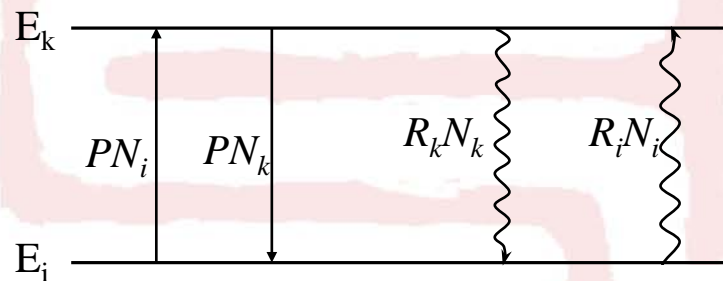
有

$$\Delta N(\nu) = \frac{\Delta N_0}{1 + 2P/(R_i + R_k)} = \frac{\Delta N_0}{1 + S(\nu)}$$

其中

$$S(\nu) = \frac{2P}{R_i + R_k} = \frac{P}{\bar{R}} = \frac{\sigma_{ik} I(\nu)}{\bar{R}} \quad \bar{R} = (R_i + R_k)/2$$

称为**饱和参量**，等于激励率 P 与平均弛豫率 \bar{R} 的比值。



两能级系统的辐射吸收

§ 4.3 谱线宽度和线形—饱和增宽



如不存在碰撞诱导跃迁(稀薄气体), 上能级 k 的自发辐射是唯一的弛豫机制。

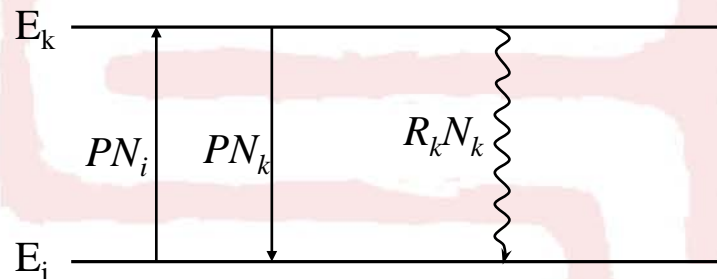
$$\text{则有 } R_i = 0, R_k = A_{ki}$$

$$\rightarrow \bar{R} = A_{ki} / 2$$

A_{ki} 是爱因斯坦自发辐射系数。

此时饱和参量:

$$S(\nu) = \frac{2P}{A_{ki}} = \frac{2\sigma_{ik}I(\nu)}{A_{ki}}$$



两能级系统的辐射吸收

$$S(\nu) = \frac{2P}{R_i + R_k} = \frac{P}{\bar{R}} = \frac{\sigma_{ik} I(\nu)}{\bar{R}}$$

对于给定的分子，在气压不变的情况下， σ_{ik} 和弛豫率不随光强变化，所以 S 与光强 I 成正比。

在弱辐射场时， I 很小， $S \rightarrow 0$ ， $\Delta N(\nu) \rightarrow \Delta N_0$ ，能级布居数密度不随光强变化，这就是不饱和吸收即线性吸收情况。

弱辐射场下的不饱和吸收系数

$$\Delta N(\nu) = \frac{\Delta N_0}{1 + S(\nu)}$$

$$\alpha_0(\nu) \approx \sigma_{ik}(\nu) \Delta N_0(\nu) \approx \sigma_{ik}(\nu) N_{i0}$$

光强变大后，激励率变大， S 增大，在强辐射场下， S 大到对 $\Delta N(\nu)$ 的影响明显，即光强影响能级布居数密度，这是饱和吸收情况。

$$\Delta N(\nu) = \frac{\Delta N_0}{1 + 2P/(R_i + R_k)} = \frac{\Delta N_0}{1 + S(\nu)}$$

$$S(\nu) = \frac{2P}{R_i + R_k} = \frac{P}{\bar{R}} = \frac{\sigma_{ik} I(\nu)}{\bar{R}}$$

强辐射场下的饱和吸收系数

$$\alpha_s(\nu) = \sigma_{ik} \Delta N(\nu) = \frac{\sigma_{ik} \Delta N_0}{1 + S(\nu)} = \frac{\alpha_0(\nu)}{1 + S(\nu)}$$

显然，在强辐射场饱和吸收情况下，光强越大， S 就越大，吸收能级上的布居数就越少，饱和吸收系数也就越小。

极端情况，辐射场完全饱和， $\Delta N(\nu) \rightarrow 0$ ，介质不再吸收，完全透明。

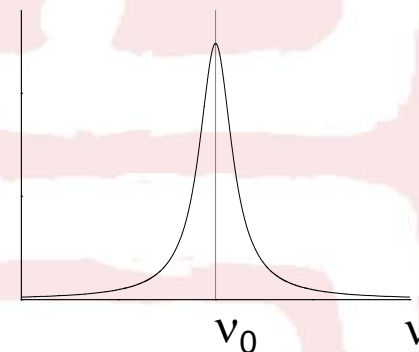
▶ 考虑只有均匀增宽的情况

吸收谱的强度分布取决于吸收截面 σ_{ik} 或吸收系数 α

弱辐射场下，线性吸收的不饱和吸收系数

$$\alpha_0(\nu) = \sigma_{ik}(\nu) \Delta N_0(\nu) = \alpha_0(\nu_0) \frac{(\gamma/2)^2}{(\nu - \nu_0)^2 + (\gamma/2)^2} = \alpha_0(\nu_0) F_L(\nu - \nu_0)$$

$\alpha_0(\nu_0)$ 是中心频率 ν_0 的不饱和吸收系数。



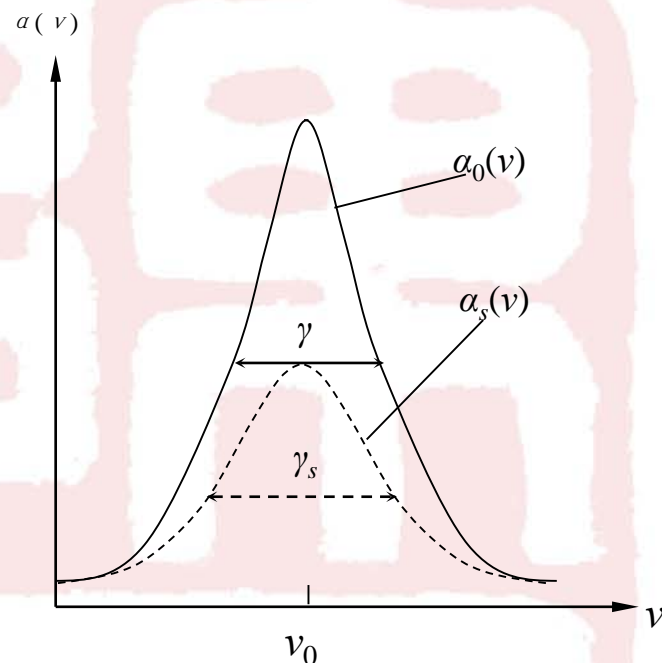
§ 4.3 谱线宽度和线形—饱和增宽--均匀增宽情形



强辐射场下，考虑饱和吸收：

饱和参数
$$S(\nu) = \frac{\sigma_{ik} I(\nu)}{\bar{R}} F_L(\nu - \nu_0)$$

➔
$$S(\nu) = S_0 \frac{(\gamma/2)^2}{(\nu - \nu_0)^2 + (\gamma/2)^2}$$



饱和吸收均匀增宽

其中 $S_0 = S(\nu_0) = \frac{2\sigma_{ik} I}{\pi\gamma\bar{R}}$ 是中心频率处的饱和参数。

面积归一化的洛仑兹线形

$$F_L(\nu - \nu_0) = \frac{\gamma/2\pi}{(\nu - \nu_0)^2 + (\gamma/2)^2}$$

峰值归一化的洛仑兹线形

$$F_L(\nu - \nu_0) = \frac{(\gamma/2)^2}{(\nu - \nu_0)^2 + (\gamma/2)^2}$$

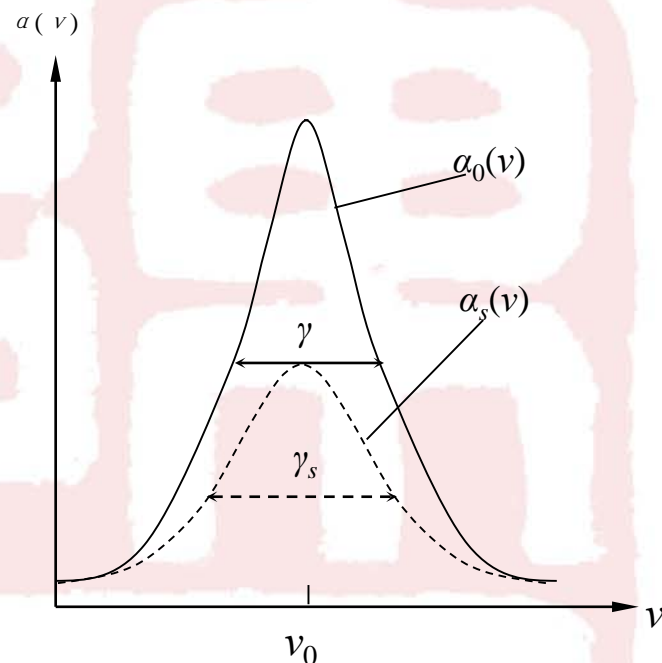
§ 4.3 谱线宽度和线形—饱和增宽--均匀增宽情形



由此得到饱和吸收系数为

$$\alpha_s(\nu) = \frac{\alpha_0(\nu)}{1+S(\nu)}$$

$$\begin{aligned}\alpha_s(\nu) &= \frac{\alpha_0(\nu_0)(\gamma/2)^2}{(\nu-\nu_0)^2 + (\gamma/2)^2} \frac{1}{1+S(\nu_0)} \\ &= \frac{\alpha_0(\nu_0)(\gamma/2)^2}{(\nu-\nu_0)^2 + (\gamma_s/2)^2}\end{aligned}$$



饱和吸收均匀增宽

所以，在均匀增宽情形下，由于饱和吸收效应，饱和吸收系数仍是洛仑兹线形，只是线宽增加了一个因子

$$\gamma_s = \gamma \sqrt{1+S_0}$$

► 考虑存在不均匀增宽的情形

由于多普勒效应，上、下能级的分子布居数 $N_k(v_z)$ 和 $N_i(v_z)$ 随分子速度 v_z 的分布将是以 $v_z=0$ 为中心的高斯分布。

单色波 $E = E_0 \cos(2\pi \nu t - kz)$ 沿 z 方向传播的通过气体分子样品。

只有那些速度能使在运动分子坐标系内多普勒频移后的频率 $\nu' = \nu - \mathbf{k} \cdot \mathbf{v} / 2\pi = \nu - kv_z / 2\pi$ 落在静止分子中心吸收频率 ν_0 附近的自然线宽 γ 内(即 ν' 在 $\nu_0 \pm \gamma$ 内)的分子才能显著地贡献到吸收内。

§ 4.3 谱线宽度和线形—饱和增宽—不均匀增宽情形



考虑到多普勒频移后的中心频率变为 $\nu_0 + k\nu_z/2\pi$ ，具有速度分量 ν_z 的分子发生跃迁 $i \rightarrow k$ 的不饱和吸收截面为

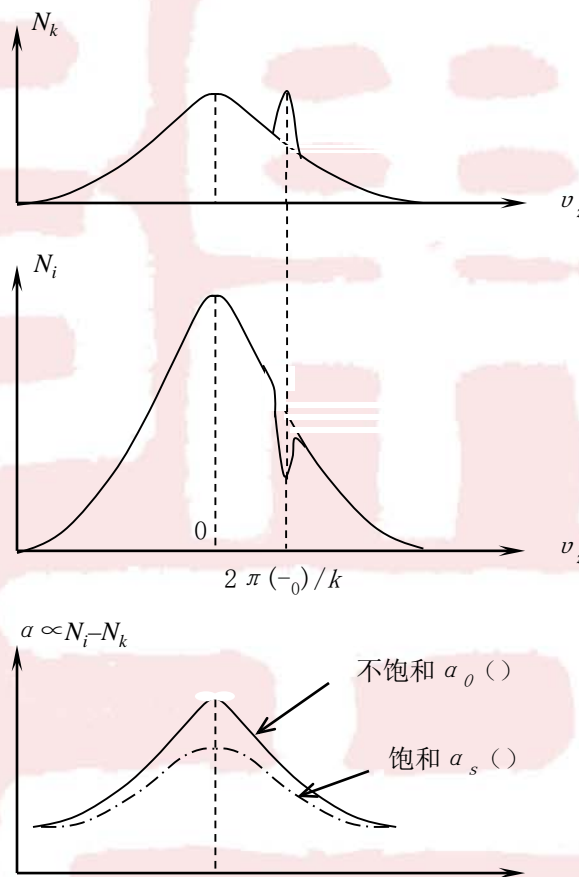
$$\sigma_{ik}(\nu, \nu_z) = \sigma_0 \frac{(\gamma/2)^2}{(\nu - \nu_0 - k\nu_z/2\pi)^2 + (\gamma/2)^2}$$

其中, σ_0 是在分子跃迁线中心 (即 $\nu = \nu_0 + k\nu_z/2\pi$) 的最大吸收截面。

§ 4.3 谱线宽度和线形—饱和增宽—不均匀增宽情形



当饱和吸收效应起作用时，由于激厉率大到与弛豫率相当，在速度 $v_z = 2\pi(\nu - \nu_0)/k$ 处的自然线宽 γ 内，即速度间隔 $dv_z = 2\pi\gamma/k$ 内，下能级 i 的布居数密度 $N_i(v_z)dv_z$ 将减少而出现一个洞，而上能级 k 的布居数密度 $N_k(v_z)dv_z$ 将增加而出现一个峰。



饱和吸收不均匀增宽

$$\Delta N(\nu, v_z) = \Delta N_0(v_z) \left[1 - \frac{\bar{R}S_0(\gamma/2)^2}{(\nu - \nu_0 - kv_z/2\pi)^2 + (\gamma_s/2)^2} \right]$$

其中,第一项 $\Delta N_0(v_z)$ 是没有辐射场时具有不同速度分量 v_z 的分子的布居数密度差(等于上图没有峰和洞的差), 因而是多普勒增宽的高斯线形。

第二项是辐射场造成的对布居数密度差的贡献, 是洛仑兹线形。

因而, 虽然整个速度分布是高斯线形, 但在 $v_z = 2\pi(v - v_0)/k$ 处也会出现一个极小, 称为贝立特洞(Bennet hole), 这一现象常称烧孔。

在贝立特洞处是洛仑兹均匀线形, 这个线形由于饱和吸收效应而宽度增加, 增加后的宽度为:

$$\gamma_s = \gamma \sqrt{1 + S_0}$$

§ 4.3 谱线宽度和线形—饱和增宽—不均匀增宽情形



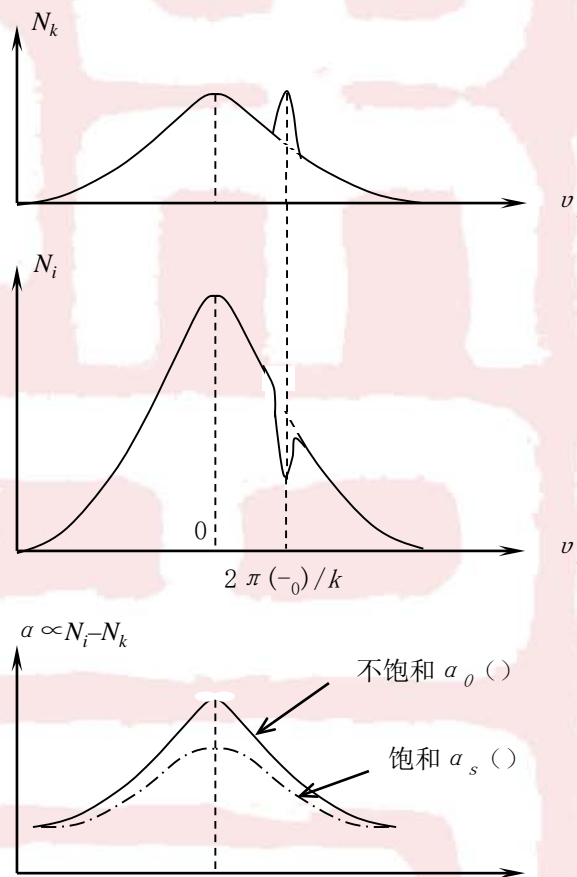
速度分量 $v_z \sim v_z + dv_z$ 的分子对吸收系数的贡献:

$$d\alpha(\nu, v_z) = \Delta N(\nu, v_z) \sigma_{ik}(\nu, v_z) dv_z$$

对速度积分, 得到总的吸收系数:

$$\alpha(\nu) = \int \Delta N(\nu, v_z) \sigma_{ik}(\nu, v_z) dv_z$$

显然是高斯线形和洛伦兹线形的卷积, 即Voigt线形。



饱和吸收不均匀增宽

§ 4.3 谱线宽度和线形—饱和增宽—不均匀增宽情形



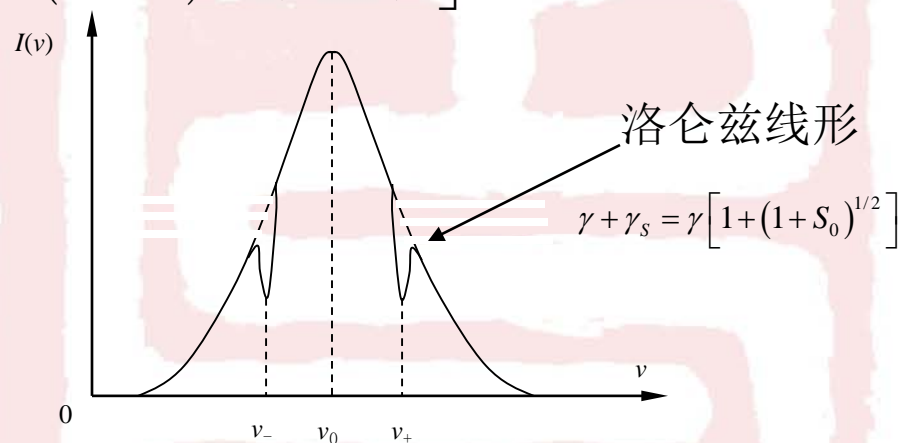
贝立特洞能用特殊技术探测，从而可减少多普勒增宽效应的影响，实现高分辨激光光谱学。

用两束激光，一束是强的饱和泵浦激光，其频率 ν_1 (或波矢 k_1)固定，从而烧出一个洞。另一束是弱的探测激光，不会产生更多饱和，其频率 ν (或波矢 k)可调。可以近似计算出它的吸收系数为

$$\alpha_s(\nu_1, \nu) = \alpha_0(\nu) \left[1 - \frac{S_0}{\sqrt{1+S_0}} \frac{(\gamma/2)^2}{(\nu - \nu_s)^2 + (\gamma'_s/2)^2} \right]$$

$$\nu_{\pm} = \nu' = \nu_0 \pm \frac{(\nu_1 - \nu_0)k_1}{k}$$

±号中+表示两束激光是同向共线的，-表示反向共线传播。



用一束强饱和吸收激光和一束弱探测激光测量到贝立特洞